

文章编号: 1674-599X(2020)03-0037-06

损伤分析的精确增量迭代算法

赵冰, 宋文浩, 陈健, 彭晖, 彭旭龙

(长沙理工大学 土木工程学院, 湖南 长沙 410004)

摘要: 针对进行损伤非线性分析时, 传统增量迭代算法会产生无法消除的漂移误差, 提出了一种精确的增量迭代算法: 正割刚度-附加荷载法。该算法采用正割刚度矩阵和附加荷载建立其增量平衡方程, 再将增量平衡方程与弧长法相结合的一种迭代算法。研究表明: 正割刚度-附加荷载法可以精确地捕捉到结构的真实平衡路径, 有效地校正了漂移误差。

关键词: 损伤分析; 漂移误差; 增量迭代算法; 正割刚度; 附加荷载

中图分类号: TU31 **文献标志码:** A

DOI:10.16544/j.cnki.cn43-1494/u.2020.03.006

An inaccurate incremental-iterative algorithm for damage analysis

ZHAO Bing, SONG Wen-hao, CHEN Jian, PENG Hui, PENG Xu-long

(School of Civil Engineering, Changsha University of Science & Technology, Changsha 410114, China)

Abstract: To solve the problem that drift error cannot be eliminated by the traditional incremental-iterative algorithm in nonlinear damage analysis, an accurate incremental iterative algorithm namely secant stiffness-additional load method (SSALM) is proposed. In the method, the incremental equilibrium equation is established by using the secant stiffness matrix and additional load in the algorithm. Then, a new incremental-iterative algorithm is established combining the incremental equilibrium equation with the arc-length approach. The results indicate that the SSALM can accurately capture the real equilibrium path of structure and effectively correct the drift error.

Key words: damage analysis; drift error; incremental-iterative algorithm; secant stiffness; additional load

损伤非线性分析已应用于众多领域, 如: 材料疲劳寿命的预测、构件裂纹的萌生与扩展及岩土强度的分析等。对于损伤力学, 其结构应力依赖于变形历史, 全量理论已不再适用。必须采用增量理论, 跟踪结构的平衡路径。因此, 增量平衡方程在非线性分析中, 得到了广泛的应用。唐雪松^[1-2]等人采用损伤力学-有限元法, 研究了加载次序对疲劳寿命的影响作用, 并对标准疲劳试验构件进行了疲劳寿命预测。张杰毅^[3]等人采用损伤力学-有限元法, 预估了球轴承的接触疲劳寿命。李聪成^[4]等人采用损伤力学有限元法, 分析了蠕变疲劳交互作用下, 影响裂纹萌生寿命的因素。张我华^[5]等人将损伤力学

引入岩石类介质的非线性本构模型, 分别建立了脆性动力和弹黏塑性动力的损伤模型, 并编制相应的有限元程序, 分析岩石的动力学行为。损伤非线性分析已运用到医学领域。Taylor^[6]等人采用损伤力学-有限元法, 模拟了人体骨骼在人造环境内的疲劳行为, 应用于人体脑骨骼样本的疲劳失效次数、弹性模量的退化及骨骼内永久应变的累积状况。考虑这些传统损伤有限元分析中的增量迭代算法, 会产生迭代无法消除的漂移误差。作者拟提出一种全新的增量迭代方法: 正割刚度-附加荷载法 (Secant stiffness-additional load method, 简称为 SSALM), 以校正传统增量迭代法的全部漂移误差, 寻求其真

收稿日期: 2019-11-12

作者简介: 赵冰(1978-), 男, 长沙理工大学副教授, 博士。

实的结构响应,以提高算法的稳定性。

1 传统损伤算法中漂移误差的成因

损伤非线性有限元格式可简单分为两类:

1) 第一类是利用力的平衡条件(内力与外力平衡)或虚功原理得到的全量形式^[7]:

$$\mathbf{K}_S(\mathbf{u}) \cdot \mathbf{u} = \sum_e \mathbf{G}^T \int_{\Omega^e} \mathbf{B}^T \boldsymbol{\sigma} d\Omega^e = \lambda \mathbf{f}. \quad (1)$$

式中: $\mathbf{K}_S(\mathbf{u})$ 为结构在某种状态 (λ, \mathbf{u}) 下的正割刚度矩阵; \mathbf{u} 为结构位移矢量; \mathbf{B} 为应变矩阵; $\boldsymbol{\sigma}$ 为全量应力张量; Ω^e 为单元体积; \mathbf{G} 为组装矩阵。

外力由荷载因子 λ 与基准荷载矢量 \mathbf{f} 的乘积形式表示。当结构的外力与内力处于非平衡状态时,则体系内存在残余力矢量 \mathbf{r} 为:

$$\mathbf{r}(\lambda, \mathbf{u}) = \lambda \mathbf{f} - \mathbf{K}_S(\mathbf{u}) \cdot \mathbf{u}. \quad (2)$$

全量应力张量 $\boldsymbol{\sigma}$ 可由损伤本构表达式为^[8]:

$$\boldsymbol{\sigma} = \mathbf{C}_D(\mathbf{u}) \cdot \boldsymbol{\varepsilon}. \quad (3)$$

式中: $\boldsymbol{\varepsilon}$ 为全量应变张量; \mathbf{C}_D 为损伤本构张量。

将式(3)代入式(1),全量平衡方程为:

$$\begin{aligned} \mathbf{K}_S(\mathbf{u}) \cdot \mathbf{u} &= \left(\sum_e \mathbf{G}^T \cdot \int_{\Omega^e} \mathbf{B}^T \mathbf{C}_D(\mathbf{u}) \mathbf{B} d\Omega^e \cdot \mathbf{G} \right) \cdot \mathbf{u} \\ &= \lambda \mathbf{f}. \end{aligned} \quad (4)$$

2) 第二类为增量平衡方程,其有限元基本式^[9]为:

$$\mathbf{K}_T(\mathbf{u}) \cdot \Delta \mathbf{u} = \sum_e \mathbf{G}^T \int_{\Omega^e} \mathbf{B}^T \Delta \boldsymbol{\sigma} d\Omega^e = \Delta \lambda \mathbf{f}. \quad (5)$$

式中: $\Delta \boldsymbol{\sigma}$ 为增量应力张量; $\Delta \mathbf{u}$ 为增量位移矢量; $\Delta \lambda$ 为增量荷载因子; $\mathbf{K}_T(\mathbf{u})$ 为切线刚度矩阵。

在实际应用过程中,常采用增量的损伤本构^[10]:

$$d\boldsymbol{\sigma} = \mathbf{C}_D(\mathbf{u}) \cdot d\boldsymbol{\varepsilon}. \quad (6)$$

对式(6)进行线性化处理^[11],可得:

$$\Delta \boldsymbol{\sigma} = \int_u^{u+\Delta u} \mathbf{C}_D(\mathbf{u}) \cdot d\boldsymbol{\varepsilon} \doteq \mathbf{C}_D^0 \Delta \boldsymbol{\varepsilon}. \quad (7)$$

式中: $\Delta \boldsymbol{\varepsilon}$ 为增量应变张量; \mathbf{C}_D^0 为初始损伤本构张量。

将式(7)代入式(5),可得增量平衡方程的有限元格式:

$$\left(\sum_e \mathbf{G}^T \cdot \int_{\Omega^e} \mathbf{B}^T \mathbf{C}_D^0 \mathbf{B} d\Omega^e \cdot \mathbf{G} \right) \cdot \Delta \mathbf{u} = \Delta \lambda \mathbf{f}. \quad (8)$$

令 $\sum_e \mathbf{G}^T \cdot \int_{\Omega^e} \mathbf{B}^T \mathbf{C}_D^0 \mathbf{B} d\Omega^e \cdot \mathbf{G} = \mathbf{K}_S(\mathbf{u})$, 则式(8)为:

$$\mathbf{K}_S(\mathbf{u}) \cdot \Delta \mathbf{u} = \Delta \lambda \mathbf{f}. \quad (9)$$

将式(6)和(9)称为传统增量迭代法,而式(9)是传统增量平衡方程。该方法已应用于许多领域,如:疲劳寿命预测^[1-3]和高阶梯度损伤理论^[12]等。对比式(5), (9)可以看出,式(9)中的传统方法是采用 $\mathbf{K}_S(\mathbf{u})$ 代替了式(5)的 $\mathbf{K}_T(\mathbf{u})$ 。然而,切线刚度矩阵^[13]由式(2)导出:

$$\mathbf{K}_T(\mathbf{u}) = \frac{\partial \mathbf{r}}{\partial \mathbf{u}} = -(\mathbf{K}_S(\mathbf{u}) + \frac{d\mathbf{K}_S(\mathbf{u})}{d\mathbf{u}} \cdot \mathbf{u}). \quad (10)$$

同时,由式(10)可知,传统增量迭代法简单地利用 $\mathbf{K}_S(\mathbf{u})$ 代替 $\mathbf{K}_T(\mathbf{u})$, 会忽略掉 $\frac{d\mathbf{K}_S(\mathbf{u})}{d\mathbf{u}} \cdot \mathbf{u}$ 。

单纯地采用增量法,必然引起解的漂移^[13]。如果没有模型误差,这种解的漂移通常是通过在增量步内设置迭代来校正的^[13]。因为传统增量迭代法忽略了 $\frac{d\mathbf{K}_S(\mathbf{u})}{d\mathbf{u}} \cdot \mathbf{u}$ 。所以,导致增量平衡方程所表征的平衡路径失真,而引起漂移误差,并且不能通过迭代技术消除。采用 $\mathbf{K}_T(\mathbf{u})$ 表达的增量迭代算法,在峰值点附近,常常存在刚度矩阵病态化、奇异化及收敛性差^[14]等问题,其稳定性在很大程度上取决于 $\mathbf{K}_T(\mathbf{u})$ 的条件数。

2 SSALM 法

对式(2)进行全微分展开,可得:

$$d\mathbf{r} = \frac{\partial \mathbf{r}}{\partial \mathbf{u}} d\mathbf{u} + \frac{\partial \mathbf{r}}{\partial \lambda} d\lambda = 0. \quad (11)$$

将式(10)代入式(11),可得:

$$\mathbf{K}_S(\mathbf{u}) \cdot d\mathbf{u} + d\mathbf{K}_S(\mathbf{u}) \cdot \mathbf{u} = \mathbf{f} d\lambda. \quad (12)$$

对于损伤力学,正割刚度矩阵 $\mathbf{K}_S(\mathbf{u})$ 的表达式为:

$$\mathbf{K}_S(\mathbf{u}) = \sum_e \mathbf{G}^T (\mathbf{K}^D)^e \mathbf{G}. \quad (13)$$

式中: $(\mathbf{K}^D)^e = \int_{\Omega^e} (1-D) \mathbf{B}^T \mathbf{C} \mathbf{B} d\Omega^e$ 为含损伤的单元刚度矩阵; D 为损伤变量; \mathbf{C} 为弹性本构张量。

将式(13)代入式(12),可得:

$$\begin{aligned} \sum_e \mathbf{G}^T \left(\int_{\Omega^e} (1-D) \mathbf{B}^T \mathbf{C} \mathbf{B} d\Omega^e \right) \mathbf{G} \cdot d\mathbf{u} = \\ \mathbf{f} d\lambda + \sum_e \mathbf{G}^T \left(\int_{\Omega^e} dD \mathbf{B}^T \mathbf{C} \mathbf{B} d\Omega^e \right) \mathbf{G} \cdot \mathbf{u}. \end{aligned} \quad (14)$$

式(14)可简写为:

$$\mathbf{K}_S(\mathbf{u}) \cdot \Delta \mathbf{u} = \Delta \lambda \mathbf{f} + \mathbf{f}^D. \quad (15)$$

其中, $\mathbf{f}^D = \sum_e \mathbf{G}^T (\int_{\Omega^e} \Delta D \mathbf{B}^T \mathbf{C} \mathbf{B} d\Omega^e) \mathbf{G} \cdot \mathbf{u}$ 为附加荷载矢量; $\mathbf{K}_S(\mathbf{u}) = \sum_e \mathbf{G}^T (\int_{\Omega^e} (1-D) \mathbf{B}^T \mathbf{C} \mathbf{B} d\Omega^e) \mathbf{G}$ 为损伤中的正割刚度矩阵。

式(15)为 SSALM 法的增量平衡方程。与传统的增量迭代法相比, 一个额外的附加荷载矢量 \mathbf{f}^D 被引入到 SSALM 法的增量平衡方程之中。

式(15)也可以由式(1)和式(13)推导出, 损伤力学全量形式的平衡方程表达式为:

$$\sum_e \mathbf{G}^T (\int_{\Omega^e} (1-D) \mathbf{B}^T \mathbf{C} \mathbf{B} d\Omega^e) \mathbf{G} \cdot \mathbf{u} = \lambda \mathbf{f} \quad (16)$$

考虑 2 个相邻的平衡状态 $(\mathbf{u}_{i-1}, \lambda_{i-1})$ 和 $(\mathbf{u}_i, \lambda_i)$, 得到增量平衡方程为:

$$\sum_e \mathbf{G}^T (\int_{\Omega^e} (1-D_i) \mathbf{B}^T \mathbf{C} \mathbf{B} d\Omega^e) \mathbf{G} \cdot \mathbf{u}_i = \lambda_i \mathbf{f} \quad (17)$$

$$\sum_e \mathbf{G}^T (\int_{\Omega^e} (1-D_{i-1}) \mathbf{B}^T \mathbf{C} \mathbf{B} d\Omega^e) \mathbf{G} \cdot \mathbf{u}_{i-1} = \lambda_{i-1} \mathbf{f} \quad (18)$$

式中: i 为当前平衡状态; $i-1$ 为上一个平衡状态。

其中, $\lambda_i > \lambda_{i-1}$ 。利用式(17)减去式(18), 则可得增量平衡方程为:

$$\sum_e \mathbf{G}^T (\int_{\Omega^e} (1-D_i) \mathbf{B}^T \mathbf{C} \mathbf{B} d\Omega^e) \mathbf{G} \cdot \Delta \mathbf{u}_i = \Delta \lambda_i \mathbf{f} + \sum_e \mathbf{G}^T (\int_{\Omega^e} (D_i - D_{i-1}) \mathbf{B}^T \mathbf{C} \mathbf{B} d\Omega^e) \mathbf{G} \cdot \mathbf{u}_{i-1} \quad (19)$$

其中, $\Delta \lambda_i = \lambda_i - \lambda_{i-1}$, $\Delta \mathbf{u}_i = \mathbf{u}_i - \mathbf{u}_{i-1}$, 且

$$\sum_e \mathbf{G}^T (\int_{\Omega^e} (D_i - D_{i-1}) \mathbf{B}^T \mathbf{C} \mathbf{B} d\Omega^e) \mathbf{G} \cdot \mathbf{u}_{i-1} = \mathbf{f}^D \quad (20)$$

式(19)可简化为:

$$\mathbf{K}_S(\mathbf{u}_i) \cdot \Delta \mathbf{u}_i = \Delta \lambda_i \mathbf{f} + \mathbf{f}^D \quad (21)$$

式(15), (21)具有相同的形式, 均由 $\mathbf{K}_S(\mathbf{u})$ 和 \mathbf{f}^D 表达。因此, 正割刚度-附加荷载法的增量平衡方程, 已从 2 个不同的角度完成推导。

为了提高 SSALM 法的求解精度, 可以在增量步内加入平衡校正的迭代步^[13]。通过将式(15)或式(21)与迭代技术相结合, 得到新的增量迭代方程:

$$\mathbf{K}_S(\mathbf{u}_i) \Delta \mathbf{u}_i^j = \Delta \lambda_i^j \mathbf{f} + \mathbf{f}^D - \mathbf{r}_i^{j-1} (\lambda_i^{j-1}, \mathbf{u}_i^{j-1}) \quad (22)$$

式中: j 为迭代次数; i 为增量步。

由于引入了荷载因子 λ , 式(22)多出的一个未知量需要补充一个约束方程。该弧长形式的约束方程^[15]为:

$$(\Delta \mathbf{u}_i^j)^T \Delta \mathbf{u}_i^j + (\Delta \lambda_i^j)^2 \cdot \mathbf{f}^T \cdot \mathbf{f} = l^2 \quad (23)$$

式中: l 为规定弧长。

Crisfield^[16]等人提出过其他类型的约束方程。

本研究采用最经典的弧长迭代法。

SSALM 法由 $\mathbf{K}_S(\mathbf{u})$ 来表达的, 避免了在峰值点附近 $\mathbf{K}_T(\mathbf{u})$ 病态化的现象。

将 SSALM 法编入 FORTRAN 有限元程序中, 每个迭代步的收敛条件, 采用位移判断准则。

3 试验算例

依托损伤杆的单轴拉伸和损伤梁的纯弯曲 2 个试验算例, 验证 SSALM 法的精确性。

3.1 损伤杆模型的单轴拉伸

采用 8 节点平面应变单元, 建立损伤杆单轴拉伸的有限元模型, 共 12 609 个节点和 4 096 个单元。杆左端完全固定, 杆右端施加平行于杆轴的均布荷载 q , 如图 1 所示。模型材料参数为: 弹性模量 $E_0=21.0$ GPa, 泊松比 $\nu=0$ 。采用与应变相关的损伤演化律:

$$D_1 = \begin{cases} 0, & \varepsilon \leq 0; \\ \varepsilon / \kappa, & \varepsilon \geq 0. \end{cases} \quad (24)$$

式中: ε 为单轴拉伸应变; $\kappa=3.50 \times 10^{-6}$ 为损伤参数。

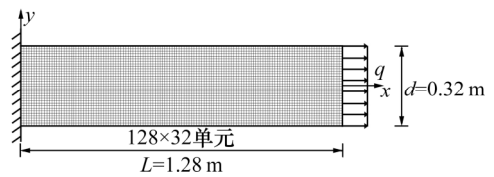


图 1 单轴拉伸损伤杆的有限元网格和边界条件

Fig. 1 FEM mesh and boundary conditions of the damage bar

损伤杆的单轴拉伸有解析解。分别使用传统方法、SSALM 法和解析法, 求出损伤杆的荷载-位移曲线, 如图 2 所示。从图 2 中可以看出, 传统方法出现了明显的漂移误差, 即使改变增量步的步长, 漂移误差并未改善。而采用 SSALM 法, 所模拟的结果, 与解析解非常吻合。表明: 传统增量迭代法发生了无法迭代消除的漂移误差, 而 SSALM 法可以跟踪到结构的真实响应。

3.2 损伤梁模型的纯弯曲

悬臂梁的纯弯曲有限元模型如图 3 所示, 采用

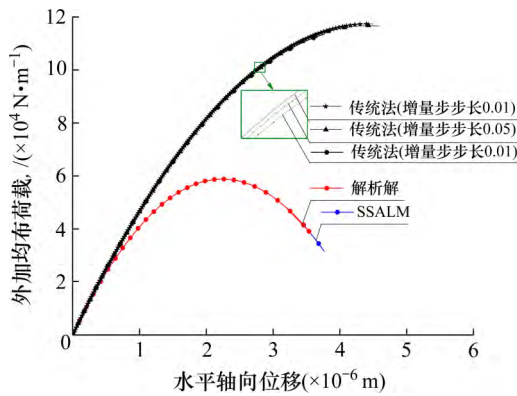


图 2 单轴拉伸损伤杆模型的载荷-位移曲线

Fig. 2 Load-displacement curves of the uniaxial tension of damage bar

与损伤杆单轴拉伸的有限元模型相同的网格。梁的左端完全固定，梁的右端施加了大小为 M 的弯矩。模型材料参数为：弹性模量 $E_0=21.0$ GPa，泊松比 $\nu=0$ 。采用了与应力相关的损伤演化律。损伤变量定义(损伤演化方程式)为：

$$D_2 = \begin{cases} 0, & \tilde{\sigma} \leq 0; \\ \tilde{\sigma} / \kappa, & \tilde{\sigma} \geq 0. \end{cases} \quad (25)$$

式中： $\tilde{\sigma}$ 为损伤力学中所定义的有效应力， $\kappa=5.0 \times 10^5$ Pa 为损伤参数。

该纯弯梁的解析解在文献[17]中已经给出。

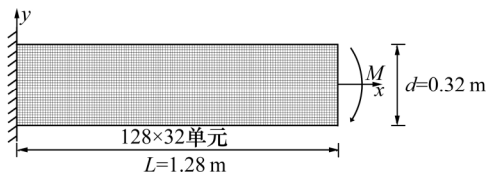


图 3 纯弯曲损伤梁的有限元网格和边界条件

Fig. 3 FEM mesh and boundary conditions of the damage cantilever beam

考虑到圣维南原理(远离右端的横截面，受边界效应的影响不大)和纯弯曲的变形特点，远离右端的任意截面，具有相同的损伤分布。本算例取中间横截面，分析其损伤分布和变形。

根据 SSALM 法和解析法，得到梁的中间横截面的损伤分布，如图 4 所示。从图 4 中可以看出，受压区无损伤发生，受拉区的损伤发展与梁的深度 d 成线性关系。梁的中性层随着外加弯矩 M 的增大，逐渐下移。最大损伤 D_{max} 出现在梁顶。这些规律与式(25)一致，且与实际结果相吻合。采用 SSALM 法得到的结果与解析解非常吻合。

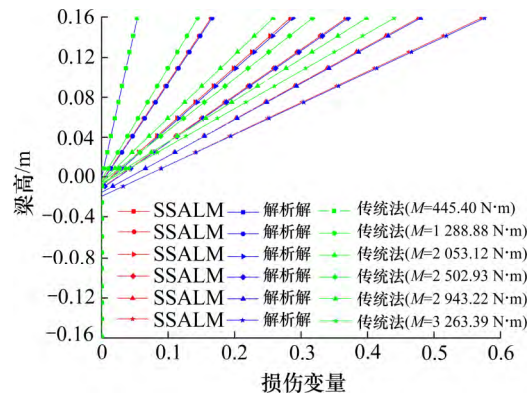


图 4 梁中间横截面损伤分布

Fig. 4 The distribution of damage in the cross section of the beam

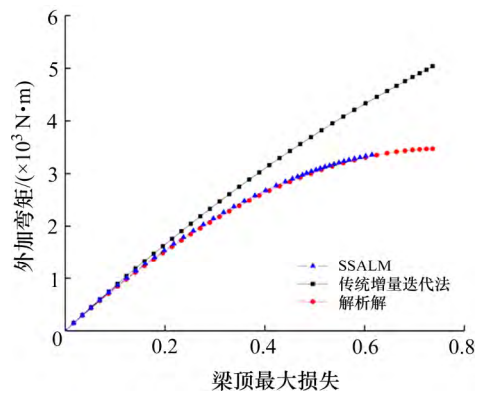


图 5 弯矩 M 与最大损伤 D_{max} 的曲线关系

Fig. 5 The bending moment M -maximum damage D_{max} curves

梁顶最大损伤 D_{max} 与外部施加弯矩 M 之间的关系，如图 5 所示。从图 5 中可以看出，传统增量迭代法追踪的平衡路径与解析解偏离的非常严重。而 SSALM 法精确地捕捉到了结构的真实平衡路径，不会出现迭代无法消除的漂移误差。

4 传统法和 SSALM 法对比分析

通过对比分析传统增量迭代法和 SSALM 法，分析引起传统增量迭代法误差的原因和 SSALM 法如何修正该误差。

式(6)的增量应力-应变关系，由式(3)得到表达式(26)或(27)为：

$$d\sigma = C_D d\varepsilon + \varepsilon \cdot dC_D \quad (26)$$

$$\Delta\sigma = C_D \cdot \Delta\varepsilon + \varepsilon \cdot \Delta C_D \quad (27)$$

比较式(7)与式(27)可知， $\varepsilon \cdot \Delta C_D$ 项在式(7)中被

忽略。传统的损伤有限元法, 由于忽略掉了 $\varepsilon \cdot \Delta C_D$ 项, 其精度必然会下降。而在 SSALM 中, 被忽略掉的 $\varepsilon \cdot \Delta C_D$ 项, 被转化成附加荷载 f^D , 引入到增量平衡方程之中, 克服了传统方法所产生的漂移误差。

传统增量迭代法与 SSALM 的相互关系, 如图 6 所示。虚线和空心点表示传统增量迭代法的结果和路径; 点划线和实心点表示 SSALM 的结果和路径。

传统增量法在 $\Delta \lambda_i f$ 的增量荷载下, 位移增量为 Δu_i^{Sim} (对应图 6 中的空心方点):

$$K_S(u_i) \cdot \Delta u_i^{Sim} = \Delta \lambda_i f \quad (28)$$

在增量步内利用迭代技术, 可消除部分漂移误差, 将图 6 中空心方点校正到空心圆点。

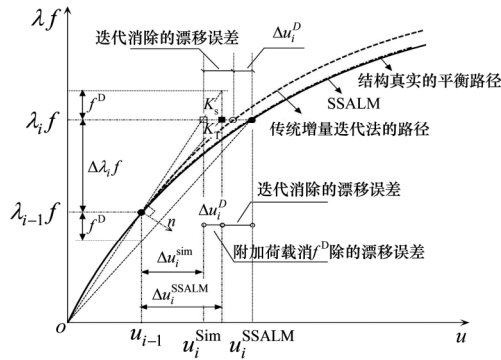


图 6 传统法和 SSALM 法的误差对比分析

Fig. 6 The error contrastive analysis in two different incremental-iterative methods

SSALM 法在 $\Delta \lambda_i f$ 的增量荷载下, 位移增量 Δu_i^{SSALM} 除了含有 Δu_i^{Sim} 以外, 还包含附加荷载 f^D 所引起的增量位移 Δu_i^D :

$$\Delta u_i^{SSALM} = \Delta u_i^{Sim} + \Delta u_i^D \quad (29)$$

其中, Δu_i^D 满足:

$$K_S(u_i) \cdot \Delta u_i^D = f^D \quad (30)$$

由式(29)可以知, 传统增量迭代法中, 由于忽略 $\varepsilon \cdot \Delta C_D$, 产生了漂移误差(模型误差), 该漂移误差可以通过引入 f^D 有效消除, 使得损伤有限元分析更贴近真实解。表明: SSALM 法将 K_T 对应的增量位移, 分解为 K_S 对应的增量位移和 f^D 对应的增量位移 2 个部分。

5 结论

1) 在进行损伤非线性分析时, 传统的增量迭代

算法, 会产生迭代无法消除的漂移误差。

2) SSALM 法可以精确地捕捉到结构的真实平衡路径, 不会出现迭代无法消除的漂移误差。

3) SSALM 法将 K_T 对应的增量位移分解为 K_S 对应的增量位移和 f^D 对应的增量位移 2 个部分。

参考文献(References):

[1] 唐雪松,郑健龙,蒋持平.传统疲劳经验公式的损伤力学解释[J].长沙交通学院学报,2000,16(2):2-5.(TANG Xue-song,ZHENG Jian-long,JIANG Chi-ping.Damage mechanical interpretation on classical fatigue empirical formula[J]. Journal of Changsha Communications University, 2000,16(2):2-5.(in Chinese))

[2] 唐雪松,杨继运,蒋持平,等.轴对称构件疲劳寿命预测的损伤力学-附加荷载-有限元法[J].航空学报,2002,23(2):97-101.(TANG Xue-song,YANG Ji-yun,JIANG Chi-ping, et al. Damage mechanics-additional load-finite element method for fatigue life prediction of ax symmetrical structural members[J]. Acta Aeronautica ET Astronautica Snica,2002,23(2):97-101.(in Chinese))

[3] 张杰毅,陈果,谢阶栋,等.球轴承接触疲劳寿命预估的损伤力学-有限元法[J].航空动力学报,2019, 34(10):2246-2255. (ZHANG Jie-yi, CHEN Guo, XIE Jie-dong, et al. Damage mechanics-finite element method for contact fatigue life prediction of ball bearings[J].Journal of Aerospace Power, 2019, 34(10): 2246-2255.(in Chinese))

[4] 李聪成,荆洪阳,徐连勇,等.蠕变疲劳交互作用下裂纹萌生的有限元模拟[J].焊接学报, 2016, 37(8): 5-8. (LI Cong-cheng, JING Hong-yang, XU Lian-yong, et al. Numerical simulation of crack initiation under creep-fatigue interaction in P92 steel[J]. Transactions of the China Welding Institution,2016,37(8):5-8.(in Chinese))

[5] 张我华,邱战洪,李鸿波.岩石类介质的非线性动力损伤有限元模型[J].科技通报,2005,21(5):615-623.(ZHANG Wo-hua,QIU Zhan-hong,LI Hong-bo.Non-linear dynamic damage finite elements model for rock like materials[J]. Bulletin of Science and Technology,2005,21(5):615-623. (in Chinese))

[6] Taylor M,Verdonschot N, Huiskes R,et al.A combined finite element method and continuum damage mechanics approach to simulate the in vitro fatigue behavior of human cortical bone[J]. Journal of Materials Science: Materials in Medicine,1999,10(12):841-846.

[7] 高大峰,路军,董旭,等.基于动水及桩-土-结构相互作用

- 的斜拉桥地震响应分析[J]. 公路工程, 2016, 41(4): 19–23. (GAO Da-feng, LU Jun, DONG Xu, et al. Seismic response analysis of hydrodynamic and pile-soil-structure interaction for cable-stayed bridge[J]. Highway Engineering, 2016, 41(4): 19–23. (in Chinese))
- [8] Tang X S, Zhang J R, Li C X, et al. Damage analysis and numerical simulation for failure process of a reinforced concrete arch structure[J]. Computers & Structures, 2005, 83(31): 2609–2631.
- [9] Liu H, Zhang W, Yuan H, et al. Modified double-control form-finding analysis for suspendomes considering the construction process and the friction of cable-strut joints[J]. Engineering Structures, 2016, 120: 75–81.
- [10] Dhar S, Sethuraman R, Dixit P M. A continuum damage mechanics model for void growth and micro crack initiation[J]. Engineering Fracture Mechanics, 1996, 53(6): 917–928.
- [11] Caseiro J F, Valente R A F, Reali A, et al. Assumed natural strain NURBS-based solid-shell element for the analysis of large deformation elasto-plastic thin-shell structures[J]. Computer Methods in Applied Mechanics and Engineering, 2015, 284: 861–880.
- [12] 赵冰, 杨荣锋, 刘智, 等. 初始损伤对混凝土强度尺寸效应的影响[J]. 交通科学与工程, 2016, 32(1): 60–66. (ZHAO Bing, YANG Rong-feng, LIU Zhi, et al. Influence of initial damage on the size effect of concrete strength[J]. Journal of Transport Science and Engineering, 2016, 32(1): 60–66. (in Chinese))
- [13] Zienkiewicz O C. The Finite Element Method[M]. 3rd ed. London: McGraw-Hill, 1977.
- [14] Wohlever J C, Healey T J. A group theoretic approach to the global bifurcation analysis of an axially compressed cylindrical shell[J]. Computer Methods in Applied Mechanics & Engineering, 1995, 122(3–4): 315–349.
- [15] Crisfield M A. A faster modified newton-raphson iteration[J]. Computer Methods in Applied Mechanics and Engineering, 1979, 20(3): 267–278.
- [16] Crisfield M A. Accelerated solution techniques and concrete cracking[J]. Computer Methods in Applied Mechanics & Engineering, 1982, 33(1–3): 585–607.
- [17] Krajcinovic D. Distributed damage theory of beams in pure bending[J]. Journal of Applied Mechanics, 1979, 46(3): 592.